

Física Numérica

Tarea #3

D. A. Vázquez Gutiérrez

Escuela Superior de Física y Matemáticas, Instituto Politécnico Nacional, Unidad Profesional "Adolfo López Mateos", Zacatenco, Edificio 9, Col. San Pedro Zacatenco, C.P. 07730 del. Gustavo A. Madero, Ciudad de México, México

email: dvazquezg1600@alumno.ipn.mx

30 de agosto de 2024

1. Estudiando la evolución de la temperatura en una barra.

Partamos del siguiente problema particular :

Considere una barra cilíndrica de aluminio de longitud $L = 1m$ y un grosor w colocada a lo largo del eje x . Dicha barra se encuentra aislada térmicamente a lo largo de su longitud, pero no en sus extremos. Inicialmente la barra se encuentra a una temperatura uniforme de $T_0 = 100^\circ C$, y los extremos se encuentran en contacto con una barra de hielo a $0^\circ C$. El calor fluye únicamente a través de los extremos no aislados.

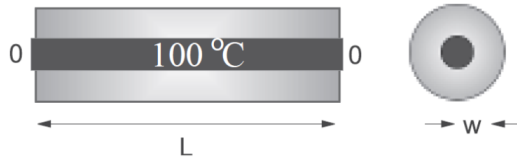


Figura 1: Diagrama del estado inicial de una barra a $100^\circ C$ aislada por los alrededores con contacto por los extremos a hielo a $0^\circ C$

(a) **Solución Analítica** . Podemos recordar por

nuestras clases de Métodos Matemáticos que un problema de este estilo es modelado por la llamada Ecuación Diferencial Parcial de Difusión , o también conocida solamente como *Ecuación de Calor* , su forma es la siguiente :

$$\frac{\partial \phi}{\partial t} = a^2 \nabla^2 \phi(\vec{r}, t) \quad (1)$$

Donde :

- ϕ es la concentración del material que se difunde
- t es el tiempo
- a^2 es el coeficiente de difusión
- \vec{r} Coordenada espacial

Con:

$$a^2 = \frac{K}{C_p \rho} \quad (2)$$

Donde :

- ρ densidad
- K Conductividad térmica
- C_p Calor específico a presión constante

Dado que la barra esta hecha de aluminio , veamos que entonces :

$$a_{Al}^2 = 9,786 \times 10^{-5} \frac{m^2}{s} \quad (3)$$

La Ecuación de Calor es posible resolver analíticamente , teniendo dos formas de hacerlo , siendo la primera el cambio de variable , pero por simplicidad , nos enfocaremos en la segunda :

Método de Separación de Variables Al ser el problema planteado en una sola dimensión , partimos suponiendo que la forma de ϕ es :

$$\phi(x, t) = X(x)T(t)$$

Evaluando esta en (1), esto solo es posible si los dos términos son iguales a una constante a elegir , sea entonces β

$$\frac{1}{T} \frac{dT}{dt} = \beta, \frac{1}{X} \frac{d^2X}{dx^2} = \frac{\beta}{a^2} \quad (4)$$

Notemos que esperamos que la temperatura disminuya , por lo tanto , consideramos que $\beta < 0$, por lo tanto , la solución tiene la siguiente forma :

$$\begin{aligned} \phi(x, t) = & (A \cos(wx) + B \sin(wx)) e^{-w^2 a^2 t} \\ & + C'_o x + C_o \end{aligned} \quad (5)$$

Con $w^2 = \frac{\beta}{a^2}$. Ahora , tenemos las siguientes condiciones de frontera

$$\phi(x, 0) = 100C \quad (6)$$

$$\phi(0, t) = \phi(L, t) = 0C \quad (7)$$

Sin embargo , para facilitar el desarrollo de la solución analítica , veamos que podemos color la barra en el centro , de tal forma que podamos utilizar las propiedades simétricas

del coseno , entonces, partamos del intervalo $(\frac{L}{2}, \frac{-L}{2})$ y tomando en cuenta que mas alla de los limites de la barra , la temperatura es cero , entonces $C'_o x + C_o$, luego:

$$\phi(x, 0) = A \cos(wx) + B \sin(wx) = 100C$$

$$\begin{aligned} \phi(\frac{L}{2}, t) &= (A \cos(w \frac{L}{2}) + B \sin(w \frac{L}{2})) e^{-w^2 a^2 t} \\ &= 0C \end{aligned}$$

$$\begin{aligned} \phi(\frac{-L}{2}, t) &= (A \cos(w \frac{-L}{2}) + B \sin(w \frac{-L}{2})) e^{-w^2 a^2 t} \\ &= 0C \end{aligned}$$

De las ultimas dos , encontramos que para un l impar, tenemos que :

$$w = \frac{l\pi}{L}$$

Por lo tanto ahora hay que tratar con :

$$\phi(x, 0) = \sum_{l=0}^{\infty} a_l \cos(\frac{l\pi}{L} x) = 100C$$

Utilizando series de Fourier , encontramos que :

$$a_l = 400 \frac{(-1)^m}{(2m+1)\pi}$$

con m un numero natural . Por lo tanto , el valor de nuestra temperatura en cualquier momento t y posicion x , de forma analítica es:

$$\begin{aligned} \phi(x, t) &= \frac{400}{\pi} \sum_{m=0}^{\infty} \frac{(-1)^m}{(2m+1)} \cos((2m+1) \frac{\pi x}{L}) \\ &\times e^{-t((2m+1)\pi \frac{a}{L})^2} \end{aligned} \quad (8)$$

Creamos entonces un programa que represente esta función, que es el código 1, con nombre **Funcion de calor 1.py** el cual se encuentra en A.1, obtenemos la gráfica en la Figura 2.

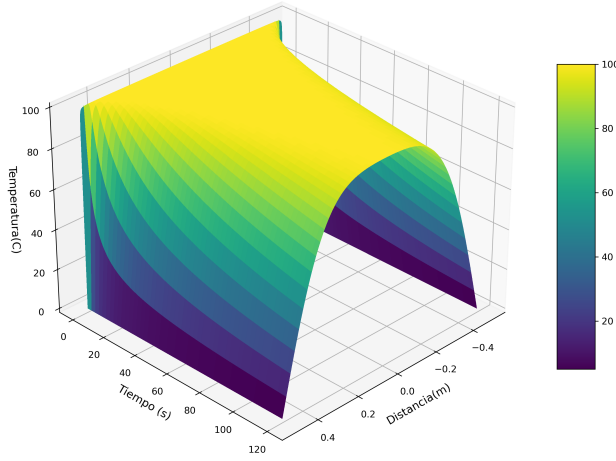


Figura 2: Gráfica obtenida a partir de Código 1. "Funcion de calor 1". En esta podemos observar claramente como la temperatura va disminuyendo desde los extremos al centro.

- (b) **Solución Numérica** .Podemos tener una solución numérica a este problema a través de una aproximación *central difference* , empleándola junto a la ecuación de calor , podemos llegar a la siguiente expresión :

$$\begin{aligned} \phi(x, t + \Delta t) = & \\ \phi(x, t) + \frac{a^2 \Delta t}{(\Delta x)^2} [\phi(x + \Delta x, t) & \\ + \phi(x - \Delta x, t) - 2\phi(x, t)] & \end{aligned}$$

Donde , haciendo las siguientes sustituciones

$$\eta = \frac{a^2 \Delta t}{(\Delta x)^2}$$

$$x = i\Delta x, t = j\Delta t$$

$$\phi(x, t) = \phi(i\Delta x, j\Delta t) = \phi_{ij}$$

Obtenemos finalmente :

$$\phi_{ij+1} = \phi_{ij} + \eta[\phi_{i+1j} + \phi_{i-1j} - 2\phi_{ij}] \quad (9)$$

Creamos entonces un programa que represente esta última ecuación, el cual es el código 2 , con nombre **Funcion de calor 2.py**, que se encuentra en A.2, obteniendo con este la gráfica en la Figura 3.

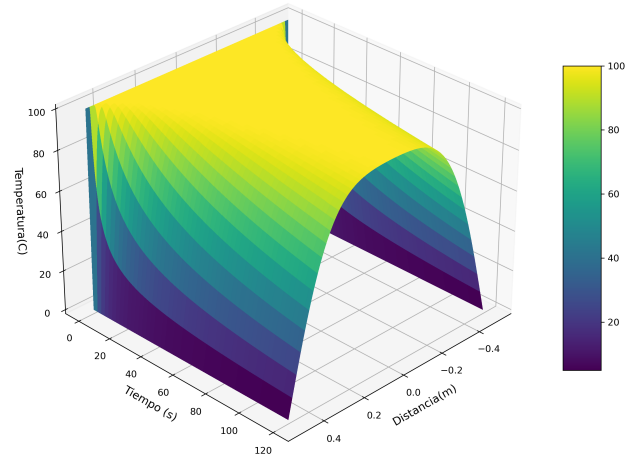


Figura 3: Gráfica obtenida a partir de Código 2. Función de calor 2". Esta es prácticamente la misma que la de la Figura 1 , solo que obtenida mediante un método numérico. Con $L= 1m$, $t_f = 120s$, $N_x = 1000$, $N_t = 25000$

- (c) **Condición de estabilidad de von Neumann-Courant**. Empleando la teoría

aprendida en clase sobre el uso del *central difference*, sabemos que para que el algoritmo funcione apropiadamente debe haber una situación especial. A esta le llamamos *Condición de estabilidad de von Neumann-Courant* :

$$\eta = \frac{K \Delta t}{C_p \rho (\Delta x)^2} < \frac{1}{2} \quad (10)$$

Donde esta claro que :

$$\Delta x = \frac{L}{N_x}$$

$$\Delta t = \frac{t_f}{N_t}$$

Luego , veamos en la grafica generada en la Figura 3 se cumple que :

$$\eta_1 = 0,469728$$

Por lo tanto, cumple con la condicion de estabilidad de von Neumann-Courant.

Veamos que obtenemos no aplicamos las condiciones de estabilidad , diagmos entonces que ahora $N_t = 2300$, entonces :

$$\eta_2 = 0,510573$$

Esto no da como resultado la grafica de la figura 4.

No cumple las condiciones de frontera , ya que según la misma grafica , tiene temperatura 0°C para toda la barra al iniciar la simulación. Por otro lado , en algún punto entre los segundos 80 y 100 hay un salto de divergencias tanto positivas como negativas, con lo que es claro que la solución no solo no es estable , si no que ademas no tiende a el equilibrio; por lo tanto no es una solución valida.

- (d) **Comparación entre solución analítica y numérica.** Ya conocemos la forma de la función tanto analítica (Figura 2), como de la

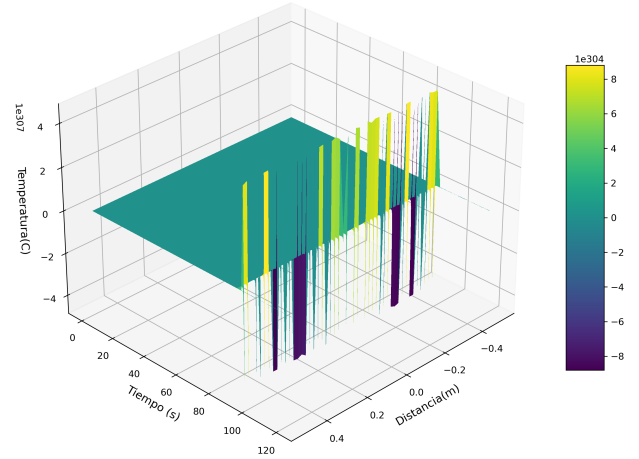


Figura 4: Grafica obtenida aparir de Código 2 sin cumplir condición de estabilidad Neumann-Courant. Función de calor 2". Con $L= 1m$, $t_f= 120s$, $N_x= 1000$, $N_t= 23000$.

numérica (Figura 3) , sin embargo aun no sabemos que tanto se parecen realmente ambas soluciones.

Para esto , emplearemos una *Grafica por diferencias* , para así visualizar los puntos en los que ambas funciones mas se distancien.

Para lograr un tiempo factible de obtención de grafica , se redujo el numero de particiones de forma proporcional según la condición de estabilidad de Neumann-Courant a $N_x = 450$, y de N_t a 5000 , así como hicimos una partición similar en los códigos 1 y 2 para que las matrices tuviesen la misma dimensión.

Vemos en la figura 5 que las discrepancias mas grandes se dan tanto en la interfase entre los extremos y el interior de la barra al inicio de la simulación , así como , mientras mas evoluciona , en las zonas en las que mas la temperatura disminuye , sin embargo , no es lo suficientemente significativas las diferencias que se presentan entre la solución analítica con

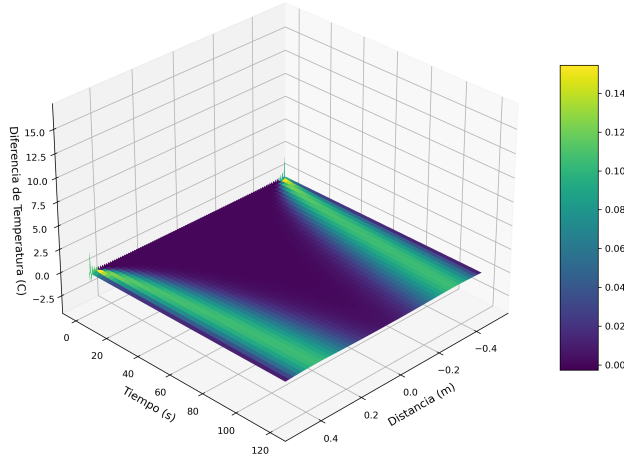


Figura 5: Grafica de diferencia entre la solución analítica y la numérica . Con $L=1m$, $t_f=120s$, $N_X=450$, $N_t=500$.

respecto a la numérica. Mientras mas iteraciones se dan a la numérica, mas cercana y parecida esta es a la analítica

- (e) **Modificación en el material.** Ahora , veamos como se comporta nuestra función numérica obtenida si suponemos la barra esta compuesta de un mal conductor térmico como lo es la madera, cuya constante de difumino es :

$$a_{wood}^2 = 8,2 \times 10^{-8} m^2/s \quad (11)$$

Esto nos da como resultado la siguiente grafica :

Notamos en esta ultima grafica que , al ser el coeficiente de difusión tan bajo , prácticamente durante toda la simulación se mantiene el interior de la barra a la temperatura inicial, solo con cambios mínimos a los costados .

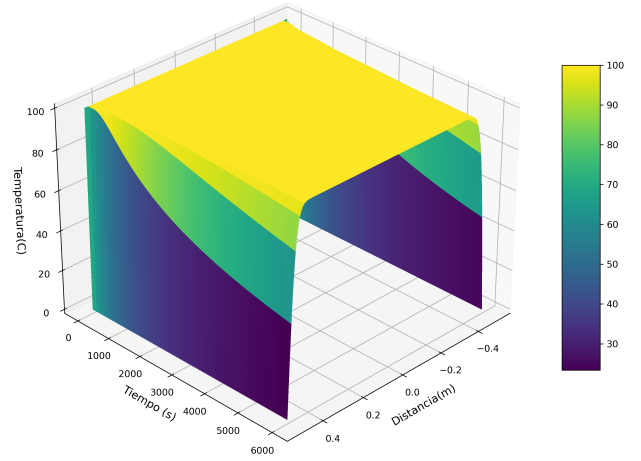


Figura 6: Grafica obtenida a partir de Código 2. bajo la hipotesis de que la barra esta hecha de madera . Función de calor 2". Esta es prácticamente la misma que la de la Figura 1 , solo que obtenida mediante un método numérico. Con $L=1m$, $t_f=6000s$, $N_X=1000$, $N_t=1000$

2. Ecuación de Poisson.

Resolveremos numéricamente la siguiente ecuación de Poisson :

$$\frac{\partial^2 \phi}{\partial x^2} + \frac{\partial^2 \phi}{\partial y^2} = f(x, y) \quad (12)$$

donde :

$$f(x, y) = \cos(3x + 4y) - \cos(5x - 2y)$$

Sujeta a las siguientes condiciones de frontera:

$$\begin{aligned} \phi(x, 0) &= \phi(x, 2\pi) \\ \phi(0, y) &= \phi(2\pi, y) \end{aligned}$$

Para esto , haremos uso del método de *Gauss-Seidel*, implementandolo en el siguiente programa:

Entonces, notemos que partimos de una matriz cuyos coeficientes son números 'de relleno' también referidos como 'basura', en este caso elegimos que los coeficientes sean unos.

También, por conveniencia y facilidad al observar lo que sucede en la grafica, elegimos que los limites del dominio de la función sean múltiplos enteros de π .

Lo que sigue transformar la matriz constante a valores en función de lo visto con el método de Gauss Sidel :

$$\phi_{i,j} = \frac{\rho_{i,j}}{4\epsilon_0} + \frac{1}{4}[\phi_{i+1,j} + \phi_{i-1,j} + \phi_{i,j+1} + \phi_{i,j-1}] \quad (13)$$

Añadiendo a esto las restricciones de la función mediante condicionales.

Esto se repite y se pule tantas veces como se desee mediante la variable Z . El resultado del código 3, con nombre `Gauss Seidel4 Poisson.py` y que se encuentra en A.3 ,podemos verlo en la siguiente grafica :

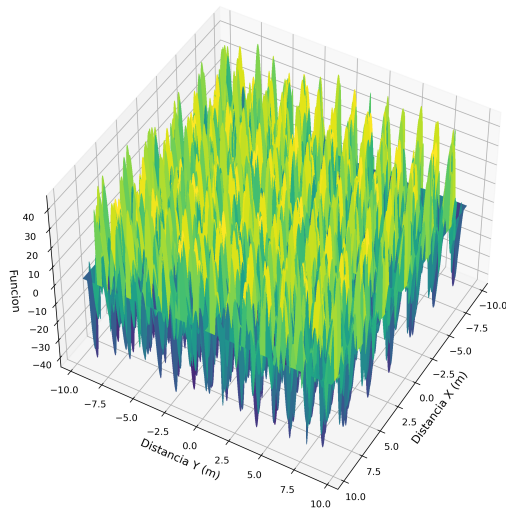


Figura 7: Grafica de la solución a la ecuación de Poisson de la ecuación 12 mediante el método de Gauss Seidel

Apéndice

A. Código en Python

A.1. Solución analítica difusión de calor

```

1 import numpy as np
2 import math as math
3 import matplotlib.pyplot as plt
4 from mpl_toolkits.mplot3d import Axes3D
5
6 L = 1 # longitud de la barra
7 alfa = 9.786e-5
8 To=100.0 #temperatura inicial
9 tf=120 #tiempo final
10 a = math.sqrt(alfa)
11 m = 1000 # Numero de iteraciones
12 N = 1000 # numero de particiones
13 Nx = 205
14 Nt = 1000
15
16 # Definir la funcion
17 def phi1(x, t, l, c):
18     X = np.zeros_like(x)
19     for i in range(m):
20         sM = ((-1)**i)/(2*i+1) * np.cos
21             ((2*i+1)*np.pi*x/l) * np.exp(-t*((2*i
22             +1)*np.pi*c/l)**2)
23         X += sM
24     return ((4*To)/math.pi)*X
25
26 # Crear matrices de coordenadas (x, t)
27 x = np.linspace(-L/2, L/2, Nx)
28 t = np.linspace(0, tf, Nt)
29 x, t = np.meshgrid(x, t)
30
31 # Calcular z utilizando la funcion
32 # definida
33 z = phi1(x, t, L, a)
34
35 # Crear la figura tridimensional
36 fig = plt.figure(figsize=(12, 12),dpi=300)
37 ax = fig.add_subplot(111, projection='3d')
38
39 # Graficar la superficie
40 surf = ax.plot_surface(x, t, z, cmap='
41 viridis', linewidth=0, antialiased=
42 False)
43
44 # Anadir etiquetas y titulo

```

```

44 ax.set_xlabel('Distancia(m)', fontsize=12)
45 ax.set_ylabel('Tiempo (s) ', fontsize=12)
46 ax.set_zlabel('Temperatura(C)', fontsize
=12)
47 ax.set_title('
', fontsize=50)
48
49
50 # Ajustes para mejorar la visualizacion
51 ax.view_init(elev=30, azim=45) # Cambiar
la elevacion y el angulo de vision
52 fig.colorbar(surf, shrink=0.5, aspect=8)
# Anadir barra de color
53
54
55 # Mostrar la grafica interactiva
56 plt.show()

```

Código 1: Programa que obtiene la grafica de la funcion analitica de la difusion de calor . NOMBRE : "Funcion de calor 1.py"

A.2. Solución numérica a la difusión de calor

```

1 import numpy as np
2 import matplotlib.pyplot as plt
3 from mpl_toolkits.mplot3d import Axes3D
4 import math
5
6 L = 1 # longitud de la barra
7 #alfa = 9.786e-5 #Coeiciente de
difusividad termica aluminio
8 alfa = 8.091e-8
9 To = 100 # temperatura inicial , 100
grados celius
10 tf=6000#tiempo final , en este caso
suponemos que transcurren 2 minutos
11 a = np.sqrt(alfa)
12 Nx = 1000 # Numero de particiones del eje
x
13 Nt = 1000 # numero de particiones del eje
y
14
15 # Parametros
16 eta = alfa*(tf/Nt)/((L/Nx)**2) # Parametro
eta , en funcion de la ecuacion 2
17 print('Eta es igual a :',eta)
18
19 # Inicializacion de la malla phi
20 phi = np.zeros((Nx, Nt))
21
22 # Condiciones iniciales
23 phi[:, 0] = To # Todas las posiciones
tienen la temperatura inicial
24

```

```

25 # el : en el phi[:,0] indica que sin
importar el numero en la coordenada x
, para cualquiera que este relacionada
con y=0
26 #tomara el valor que se quiera , en este
caso To (temperatura inicial)
27
28 # Condiciones de contorno
29 phi[0, :] = 0
30 phi[-1, :] = 0
31
32 #el -1 en el phi[-1, :] , es una forma en
la que sin conocer la longitud de la
dimencion en x de la malla , podemos
indicar
33 #el ULTIMO elemento , de igual manera se
puede indicar el PENULTIMO elemento
empleando el -2 y asi sucesivamente.
34 #en este caso decimos que para todo ultimo
valor de x en la malla, este simepre
valdra 0
35
36
37 # Iteracion de la EDP
38 for j in range(1, Nt): #empezamos en 1 por
que la ilera de t=0 ya esta
inicializada
39 for i in range(1, Nx-1): #vamos de 1 a
Nx-1 por que tanto el primero (0)
como el ultimo ya estan incializados
en x
40 phi[i, j] = phi[i, j-1] + eta * (
phi[i+1, j-1] + phi[i-1, j-1] - 2 *
phi[i, j-1]) #Por como esta definido
phi en la ecuacion 9 , hacemos un
cambio de j+1 a j
41
42 print()
43
44
45 # Crear una cuadrícula 2D
46 x = np.linspace(-L/2, L/2, Nx)
47 t = np.linspace(0, tf, Nt)
48 t, x = np.meshgrid(t, x) # Aqui t se
transpone con x
49
50 # Grafico 3D de la superficie
51 fig = plt.figure(figsize=(12, 12),dpi=300)
#dpi=300 aumenta la calidad de la
grafica , y la proporcion de figsize
hace que los labels sean de un tamaño
apropiado
52 ax = fig.add_subplot(111, projection='3d')
#el subpot 111, se refiere a que se
proyecta la grafica 1, de un total de
graficas 1x1 , hay mas
configuraciones 212, 223, etc

```

```

53 surf=ax.plot_surface(x, t, phi, cmap='
    viridis', linewidth=0, antialiased=
        False)
54 # Anadir etiquetas y titulo
55 ax.set_xlabel('Distancia(m)', fontsize=12)
56 ax.set_ylabel('Tiempo (s) ', fontsize=12)
57 ax.set_zlabel('Temperatura(C)', fontsize
    =12)
58 ax.set_title('
    ', fontsize=50)
59
60 # Ajustes para mejorar la visualizacion
61 ax.view_init(elev=30, azim=45) # Cambiar
    la elevacion y el angulo de vision
62 fig.colorbar(surf, shrink=0.5, aspect=8)
    # Anadir barra de color
63
64
65 plt.show()

```

Código 2: Programa que obtiene la grafica de la funcion analitica de la difusion de calor . NOMBRE : "Funcion de calor 2.py"

A.3. Solución numérica a la ecuación de Poisson mediante método Gauss-Seidel

```

1  # -*- coding: utf-8 -*-
2  """
3  Created on Fri May 3 15:45:37 2024
4
5  @author: dangv
6  """
7  import numpy as np
8  import matplotlib.pyplot as plt
9  from mpl_toolkits.mplot3d import Axes3D
10 import math
11 h=3
12 Lx = h*np.pi
13 Ly=h*np.pi
14 Nx = 1000 # Numero de particiones del eje
    x
15 Ny = 1000 # numero de particiones del eje
    y
16 err=0.01
17 Z=60 #iteraciones de Gauss Seidel
18 p=0
19 def rho(x,y):
20     k=np.cos(3*x+4*y)-np.cos(5*x-2*y)
21     return k
22
23 x=np.linspace(-Lx,Lx,Nx)
24 y=np.linspace(-Ly,Ly,Ny)
25
26 phi = np.ones((Nx, Ny)) #Por el metodo de

```

```

    Gauss Seidel , hay que dar un valor "
    basura" a cada uno de los valores en
    la matriz al iniciar el proceso
27
28
29 # Iteracion de la EDP
30 for u in range(Z):
31
32     for j in range(1, Ny-1): #empezamos en
        1 por que la ilera de t=0 ya esta
        inicializada
33         for i in range(1, Nx-1): #vamos de
            1 a Nx-1 por que tanto el primero (0)
            como el ultimo ya estan incializados
            en x
34
35             if (y[j]%(2*np.pi))<err:
36                 phi[i, j] = phi[i,0]
37             elif (x[i]%(2*np.pi))<err:
38                 phi[i, j] = phi[0,j]
39             else:
40                 phi[i, j] = (rho(x[i],y[j])
                    /4)+(1/4)*(phi[i+1,j]+phi[i-1,j]+phi[i
                    ,j+1]+phi[i,j-1])#Por como esta
                    definido phi en la ecuacion 9 ,
                    hacemos un cambio de j+1 a j
41
42
43
44     p=p+1
45     print((p/Z)*100, '%')
46
47 y, x = np.meshgrid(y, x) # Aqui t se
    transpone con x , nesesario para
    graficar correctamente la funcion
    hecha
48 # Grafico 3D de la superficie
49 fig = plt.figure(figsize=(12, 12),dpi=300)
    #dpi=300 aumenta la calidad de la
    grafica , y la proporcion de figsize
    hace que los labels sean de un tamano
    apropiado
50 ax = fig.add_subplot(111, projection='3d')
    #el subpot 111, se refiere a que se
    proyecta la grafica 1, de un total de
    graficas 1x1 , hay mas
    configuraciones 212, 223, etc
51 surf=ax.plot_surface(y, x, phi, cmap='
    viridis', linewidth=0, antialiased=
        False)
52 # Anadir etiquetas y titulo
53 ax.set_xlabel('Distancia X (m)', fontsize
    =12)
54 ax.set_ylabel('Distancia Y (m) ', fontsize
    =12)
55 ax.set_zlabel('Funcion', fontsize=12)
56 ax.set_title('

```



```

57         ', fontsize=50)
58 # Ajustes para mejorar la visualizacion
59 ax.view_init(elev=45, azim=30) # Cambiar
    la elevacion y el angulo de vision
60 fig.colorbar(surf, shrink=0.5, aspect=8)
    # Anadir barra de color
61
62
63 plt.show()

```

Código 3: Programa que obtiene la grafica de la funcion de Poisson por el metodo de Gauss Seidel .
NOMBRE : "Gauss Seidel4 Poisson.py"